# モノエタノールアミン硝酸塩の熱分解

原 泰毅\*,中村英剧\*,広崎簽一\*\*, 長田英世\*

スラリー爆薬の鋭感剤として使用されているモノエタノールアミン硝酸塩 (EAMN)の熱分解反応について、熱分析、定温加熱過程における速度パラメーターの決定およびガス分析等を行って、その機構を考察した。

EAMN の熱分解退度は同じ用途を持つモノメチルアミン硝酸塩より少し高いが、分解開始 後は著しく加速されて激しい分解となる。定温過程における分解速度式は指数関数  $x^{\alpha}=kt$  (x:分解率,t:時間,a,kは定数)となり、分解は自触的に進行する。また EAMN の分解には 著しい予熱効果が認められる。

### 1. 绪 含

スラリー爆薬の鋭感剤として用いられて来たものにはTNTやRDXなどの火薬系のものと、アルミニウム等の金風および穏々のアミン硝酸塩を用いた非火薬系とに大別されるり。アミン硝酸塩の主なものはモノメチルアミン硝酸塩(以下 MAN と略配)で、他にエチルアミン、プロピルアミン等のアルキルアミンおよびエチレンジアミン等のアルキルジアミンの各硝酸塩がある。さらに数社でエタノールアミン硝酸塩り(以下 EAMNと略配)およびその硝酸エステル³(以下 EADNと略配)が利用されている。

MAN の熱反応性に関する研究は数例報告<sup>9-6)</sup> されているが、EAMN は Gabriel<sup>7)</sup>によって合成されて以来 Cottrell ら<sup>6)</sup>がその燃焼熱を測定した程度で、熱分解退度や分解速度等の熱化学的な研究はなされていない。

熱分解退度や分解速度等の情報は試料の製造あるい は貯蔵に関する安全性の検討、さらには爆薬の爆ごう 過程における挙動を考察する上に必要である。本研究 は EAMN および EADN の熱反応性を検討したもの で、その第一報として EAMN の熱分解について報告 する。

### 2. 実験

## 2.1 斌 苺

EAMN は放圧下で蒸留 (88℃/30mmHg) したモノ

昭和58年1月11日受理

- \*九州工業大学環境工業科 〒804 北九州市戸畑区仙水町 1-1 TEL 093-871-1931 内線 447
- \*\*現在は日本油脂糊武盘工場化薬研究所 〒470-23 愛知県知多郡武豊町西門 82 TEL 05697-2-1221

エタノールアミンを水溶液中で硝酸で中和<sup>6)</sup> したのち、 濃縮して析出する結晶を水から再結晶して得た。

#### 2. 2 装置および方法

## 2. 2. 1 熱分析および発火温度の測定

示逆熱分析 (DTA) および熱 低品 御定 (TG) 装置は、いずれも理学電機製の標準形 DTA-TG 装置および高圧 DTA 装置を用いた。試料容器はアルミニウム製の 5°×5°mm の開放型のものを用い、加熱速度は 10℃/min で行った。Kissinger 法<sup>9</sup> は 2.5°~20℃/min の加熱速度で行った。

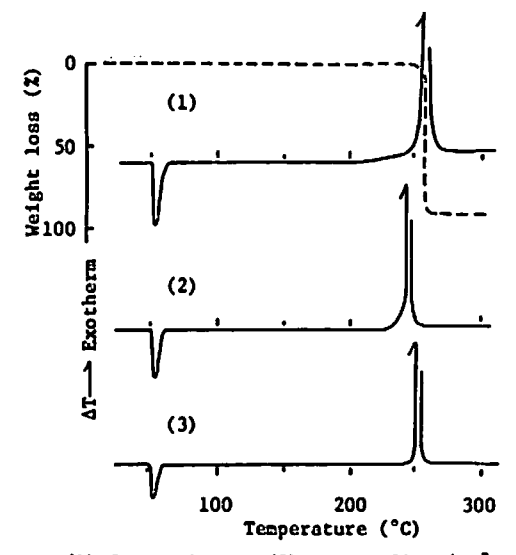
発火退度の測定はクルップ法<sup>10)</sup>によった。 粉末 飲料を IR 用錠剤成形器でかため,一片約 20mg を一定退度に加熱した石英管 (直径30mm,高さ 150mm)に投入し,発火までの時間をストップウォッチで測定した。

#### 2. 2. 2 分解疎度の測定

前配のDTA-TG 装置を用いて重量減少速度を測定した。5mg または10mg の試料を押り入れた試料容器をホルダー上にのせて石英保護管をかぶせ、ヘリウムを60ml/min の流速で流れるようにしたのち、一定温度に保った電気炉をセットして試料の重量変化を連続的に配録した。

### 2. 2. 3 分解ガスの分析

熱分解炉(島津製 PYR-1A)をガスクロマトグラフに直結した熱分解ガスクロマトグラフ法<sup>III)</sup>によって分析した。試料数mgを白金ボート中に精秤し、ヘリウムをキャリヤーガスとして一定退度に保った熱分解炉に流しながら白金ボートを加熱炉の中央に挿入し、分解して発生する気体を直らにカラムに送り分離定量する。カラム充塡剤には N<sub>2</sub>, NO および COの分析にはモレキュラシーブ 13X を、CO<sub>2</sub>には活性炭を用いた。



(1) In N<sub>2</sub>; 1 atm, (2) In N<sub>2</sub>; 30 Kg/cm<sup>2</sup>
(3) In He; 30 Kg/cm<sup>2</sup> gauge

Sample; 5 mg(open pan), dT/dt = 10°C/min

Fig. 1 DTA and TG curves of ethanolamine nitrate

NO<sub>2</sub> の定量はガスクロマトグラフ法によらず、上記 の熱分解ガスをザルツマン試薬を入れた吸収管に導び き、比色法<sup>13)</sup> で行った。

#### 3. 結果および母寮

## 3. 1 EAMN の熱分析および発火温度

Fig.1に極々の条件下で測定したDTAおよび TG 圏を示した。EAMN を加熱すると50℃で融解し(融点は52~53℃が)し、大気圧下では約230℃で分解を開始する。この分解は250℃から急激となり、 DTA 曲線は260℃でピークを示す。これにともないTG 曲線は直線的な減量を示し、250℃からの分解の激しさがうかがえる。同一条件で空気中で測定すると、DT A、TG 両曲線とも窒素中で測定したものとほとんど同じで、EAMN の熱分解におよぼす空気中の酸素の影響は小さい。分解温度をMAN<sup>6)</sup>と比較すると、分解開始温度は約20℃高いが、ピーク温度はほとんど等しい。

加圧下におけるDTA 曲線の例をFig.1 に併記した。 加圧下で測定する主な効果は(1) 試料の蒸発を抑制する、(2)試料から発生する分解ガスの系外への拡散を抑える、(3)解離する物質についてはその解離温度を上昇させる、などである。EAMN の蒸気圧は高くない(常圧下において分解温度以下の温度における低量減少がない)から(2)と(3)の効果があらわれる可能性がある。加圧すると発熱ピークの温度は低温側へ移動するが、その効果は小さい。10~50kg/cm³(ゲージ圧)の 圧力範囲では、ピーク温度はほとんど同じであった。

同圧における蜜素中とヘリウム中におけるピーク温度の相違(約10°C)はヘリウムの熱伝導度が蜜素のそれより6倍<sup>130</sup>大きいことにより、分解熱の系外への拡散がおこりやすいために、試料の温度上昇が抑制されるためである。この傾向は融解の吸熱ピークの大きさにもあらわれている。即ち、吸熱ピークの場合は試料温度が外界の温度よりも低いために、熱の伝導が容易なヘリウム中の場合の方が温度差が小さくなるために吸熱ピークは小さくなる。この熱伝導度の発熱分解におよぼす効果については、定温過程における分解速度の所でもふれる。

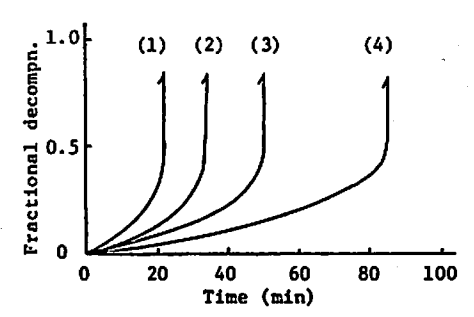
次に発火温度の測定結果について述べる。230°C ~390°Cで発火待ち時間 r を測定したが250°C以下での発火確率は低く、最低発火温度は247°Cであった。r の温度依存性はr=2780/T-3.96 (単位はsec) で示され、これより発火に要する見掛けの活性化エネルギーは12.8kcal/molと算出されている。

発火温度の翻定において、クルップ法などの定温加熱法による場合、発火待ち時間が4秒に相当する温度が昇温法で求められる温度と一致するという理由から、この温度を発火温度とする場合が多いが100, EAMNの場合の4秒待ち温度は上式から336℃となり、最低発火温度よりも約90℃高い。ニトロトルエン誘導体100場合のように4秒待ち温度と最低発火温度が近い場合は、この温度で各化合物間の危険性を比較しても良いが、EAMNの場合のように低温でも長時間をかけると発火(247℃で24sec)するような試料の発火感度を評価するに当っては、最低発火温度と待ち時間の表示によるべきである。

## 3. 2 EAMN の分解速度

定温加熱過程における瓜量減少速度を静止空気中で 関定してFig.2に示した。分解曲線は反応初期において指数関数曲線となり、熱分解が加速的に進行することを示している。分解率が約45%に違すると反応はさらに激しくなって終了する。この分解の加速は反応の進行にともなう活性額の増加により反応が連鎖的に進行することも原因の一つであるが、本実験で使用した DTA-TG 同時測定装置による試料退度の測定から、 反応の進行にともない分解熱の蓄積により系の退度が 上昇するために、熱連鎖的にも反応速度が加速的に大きくなり急激な分解となることを認めた。

この重量減少速度が急速になるまでの時間を測定して分解の活性化エネルギーを求めようとしたが、試料量が少量では実験データーのバラッキが大きいので、マクロ DTA 型の試料容器 (円筒型<sup>18)</sup>)で試料量を100mg に増加し、試料温度と炉温度との温度差 (定温 D



Furnace temperature (°C) (1)230, (2)223, (3)218, (4)213

Fig. 2 Weight change of ethanolamine nitrate with isothermal heating

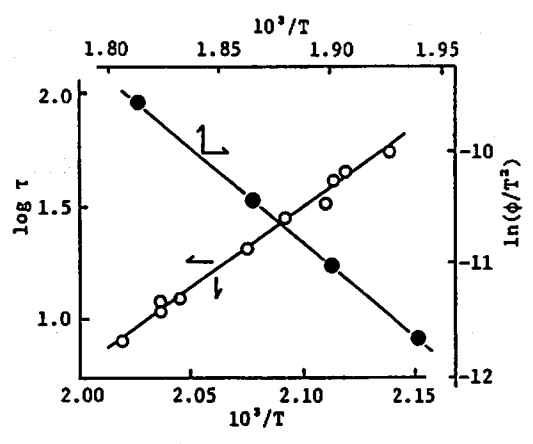


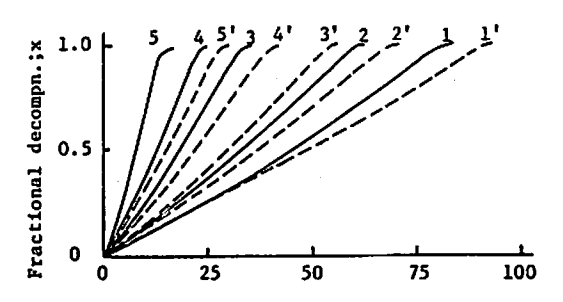
Fig. 3 Plots of log r vs. 1/T and Kissinger's plot for the decomposition of ethanolamine nitrate

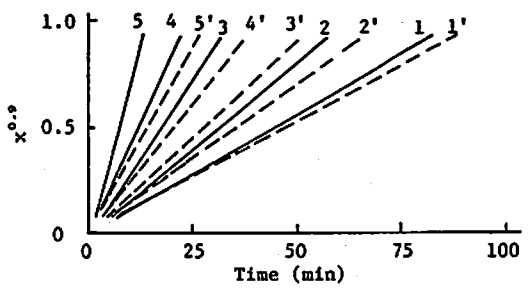
TA) を測定して、試料の温度が急上昇するまでの時

間でを極々の温度で測定してFig. 3 にプロットした。 での対数は温度の逆数に対して良い直線性を示し、 分解の活性化エネルギーとして 32. 4kcal/mole の値を 得た。DTA や TG などの非等追法 <sup>16)</sup>による活性化エネルギーの測定法の中で、DTA のピーク 温度の加熱 速度依存性より求められる、本法と類似した Kissinger 法<sup>9)</sup>によるプロットを Fig. 3 に併配した。この直線の 傾きから求めた値は 32. 2 kcal/mole と、先の値と良い

次にヘリウム気流中で行った定温加熱過程における 重量減少速度の測定結果について述べる。静止空気中 では分解によって発生する熱量のために反応温度を一 定に保つことが出来ないが、先に述べたように熱伝導

一致を示した。





Temperature(°C) (1)220.2, (2)224, (3)233.8, (4)240, (5)252, (1')224.2, (2')230.4, (3')235.6, (4')238, (5')247.7

Fig. 4 Isothermal decomposition of ethanolamine nitrate in He flow

度の大きなヘリウム中で行うことにより反応温度の制御が可能となった。そのヘリウム流速の影響を検討するために試料量 5mg, 反応温度 225°~226℃の条件下で, 流量を30ml, 60ml および 120ml/min とした場合の分解速度の測定結果は,実験誤差内で一致したので以下の実験はヘリウム流量60ml/min で行った。

種々の温度における測定結果をFig.4に示した。測定は試料量の相違を検討するために5mgと10mgの2 通りで行った結果、分解曲線の主反応領域ではいずれ も指数関数曲線を描いている。即ち、分解速度式としては次式で整理される。より、4 a はそれぞれ分解率、

$$x^{a} = kt \tag{1}$$

時間,速度定数および定数である。反応速度式は一般に  $dx/dt=kx^m(1-x)^n$  で表わされるが,(1)式は m=1-a,n=0 として導びかれる。すなわち(1)式より(2)式が導びかれ,分解が自触的に進行することを示している。

$$\frac{dx}{dt} = \frac{k}{a} x^{1-a} \equiv k' x^{l} \tag{2}$$

(2)式は分解速度が不均一系の反応における分解核の数に比例すると解しゃくすることが出来る $^{17}$ 。即ち,分解反応が不均一系で生じる場合に,微小の分解核が順次生長して進行すると考えるときに,核の生長速度dN/dtは反応時間の関数として $dN/dt = At^{q-1}$  (A,

q は定数)のようにあらわされる。この式を積分すると は時間後の活性核の数は  $N=A/q \times \ell$ で与えられる。分解速度が活性核の数に比例するとすれば(3)式が得られ、(3)式は(2)式と同等である。

$$\frac{dx}{dt} = kN = \frac{kA}{q}t^q \tag{3}$$

(1)式の対数を取ると alnx = lnk + lnt となり、lnx を lntに対してプロットすると直線となり、その直線の傾きから aが求まる。その結果、試料量にかかわらず aの値は0.84~0.95を示し、その平均値は0.9となった。次に x 0.9 を t に対してプロットし Fig. 4-(国) に示した。(1) 式への適合性は分解率 x が0.1~0.9 で良い 直線性を示した。これらの直線の傾きから速度定数 k を 求め、その Arrhenius プロットを Fig. 5 に示した。 試料量の多い方が k の値は小さく、分解終了までに長時間を要する。しかし、エネルギー的にはほとんど同じ値32.8 kcal/mole を示し、この反応では分解ガスの系外への拡散速度が大きな影響をおよぼしている。このように分解速度が試料の気一液界面の面積に影響されるとすると、試料量が 2 倍になってもその面積は 2 倍とならないから、実質的に分解速度は小さくなる。

なおFig.3で分解熱の発生から求めた活性化エネルギーと試料の分解速度から求めた値とが良い一致を示したことは、この試料の分解律速過程が大きな発熱過程を含むことを示すものである。

#### 3.3 熱分解におよぼす予熱効果

EAMN の熱分解が自触的に進行することから、分解 過程において分解促進効果を示す物質(活性額)の存 在が予想される。この活性額が室退付近の温度で安定 であれば予熱効果、いわゆるメモリー効果<sup>18,10)</sup>が現

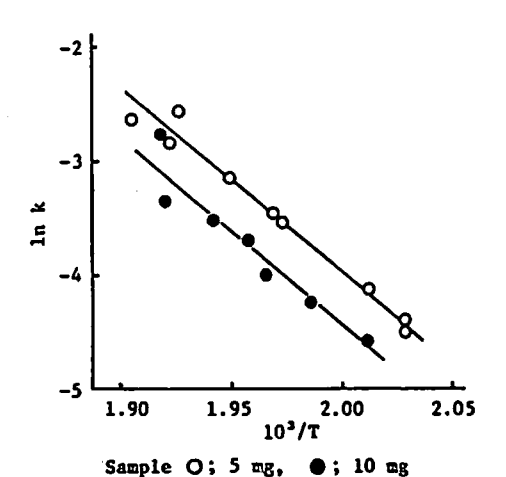


Fig. 5 Arrhenius plot for the decomposition of ethanolamine nitrate

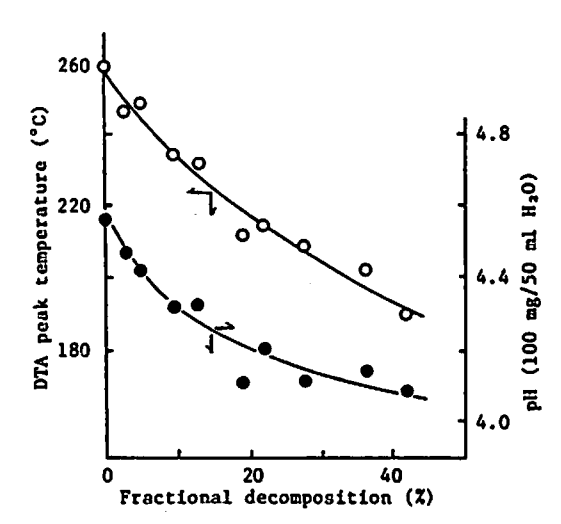


Fig. 6 Decomposition temperature of ethanolamine nitrate preheated and pH change of its aqueous solution

われる。Jones 6 18 はこの効果を発火待ち時間で示したが、著者らはDTA法で検討出来るこを報告した。

予熱試料の調製は、昇温過程では分解が激しすぎるので定温過程で行った。内径 10mmのガラス管に試料300mg を入れ、これを210℃に加熱したブロック中で加熱し、適当に試料管を取り出して冷却し、瓜瓜変化を測定した。予熱の程度をこの重量減少値で表わし、これらの試料のDTAピーク温度をFig.6に示した。

その結果、承量減少値に対するDTAピーク退度の低下は大きく、予熱効果が著しいことを示している。このように予熱効果を示す活性種は、有機化合物の場合はラジカル<sup>20)</sup>であることが多いので、EAMNの予熱試料を液体窒素で急冷し、液体窒素退度でESRスペクトルによるラジカルの検出を試みたが、ラジカルに基づくESRシグナルは観測出来なかった。

過塩素酸アンモニウム(以下 AP と略配)などのアンモニアのオキソ酸塩の場合には、分解過程で遊離酸が生成し、その酸の酸化作用等により分解が促進<sup>31)</sup>されることがあるので、酸性物質の存在の有無を検討した。先の予熱試料 100mg を純水に溶解して 50ml とし、この溶液の pH を測定して Fig. 6 に併配した。その結果、反応の進行とともに pH の低下が見られることから、APの場合と同様に、EAMN の分解促進効果を示すものの一つとして生成酸が考えられる。

#### 3. 4 触分解ガスについて

試料を不活性ガス中で急速に加熱したときの熱分解によって発生する主な気体の量を測定 (Fig. 7)することにより EAMN の熱分解の特徴を考察した。300℃~600℃ の温度範囲において、CO および NO は温度上

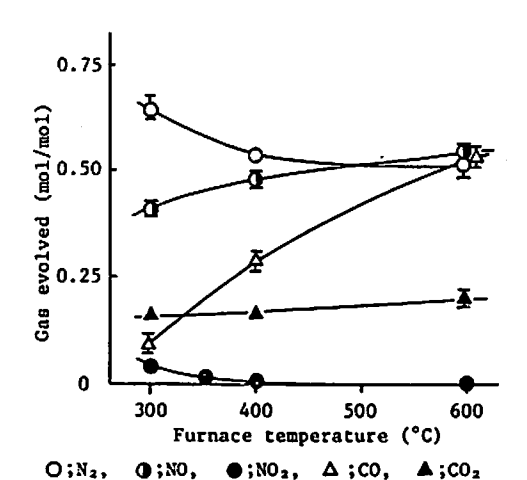


Fig. 7 Gas analysis for the decomposition of ethanolamine nitrate

昇とともに増加し、N₂は減少の傾向を示し、CO₂と NO₂はほとんど沮度によって変化しない。

600°Cにおいて、試料の元素含有率に対する窒素系と炭素系の気体の発生率を比較すると、N₂; 52% およびNO; 27% で窒素系約80%に対して、COとCO₂とで37%と前者の方が大きい。試料の酸素バランスは−51.6g/100gで、炭素の一部は炭化水案あるいは酸素を含んだ不完全酸化生成物になっているものと考えられる。NO₂の発生率が低いのも酸素バランスが負で大きいためであろう。

このような主な分解ガスの発生は、MAN やエチレンジアミン硝酸塩の場合と類似<sup>22)</sup> しており、これらアミン硝酸塩は分子内あるいは分子間の酸化還元反応によって上記の気体を発生するような類似の機構で進行するものと考えられる。

## 4. 結論

EAMN のDTA 法による熱分解開始退度は約 230 ℃で、分解は 250 ℃より激しくなる。加圧 DTA 法における圧力効果および空気中の酸素の影響は小さい。

クルップ法による最低発火退度は 247 ℃で、一般にこの方法で発火退度として用いられる待ち時間 4 秒に相当する退度 336℃ にくらべて約90℃低い。

EAMN の分解速度は、ヘリウム気流中で  $x^{0.9}$  = kt (E=32.8 kcal/mole) で示され、分解は生成物の微小な核が順次生長して自触的に進行する。EAMN の分解は開始以来加速的に進行するため反応熱による試料の温度上昇が大きく、静止空気中などでは定退に保つことが困難となるが、熱伝導度の大きなヘリウム気流中では測定可能となる。

EAMN の熱分解には著しいメモリー効果が認めら

れるが、加熱過程において安定なラジカルの生成は関め難く、分解を促進する物質の一つは生成酸であることが、予熱試料の水溶液のpH 測定から予想される。

EAMN の熱分解によって生成する主な気体は N<sub>2</sub>, NO, CO および CO<sub>2</sub>で NO<sub>2</sub>の発生量は小さい。これらは MAN や他のアミン硝酸塩の場合にも共通しており、アミン硝酸塩の分解が類似した機構で進行することを示している。

本研究には昭和55年度火薬工業技術奨励会の研究助成金を一部使用させて頂きました。ここに感謝の意を 表します。

#### 文 献

- 1) 木村鼠, "スラリー爆薬", 山海堂 (1975) p36
- 2) 例之ば USP 3, 401, 067 (1968), Hercules (C. A., 69, 98127u (1968), USP 3, 629, 021 (1971), du Pont (C. A., 78, 47952w (1972)), 特開昭 50-142, 715, 日本工機 (C. A., 84, 108031j (1976))
- 3) USP 3, 793, 096 (1974), Hercules (C. A., 81, 51901z (1974))
- 4) S. R. Jain, M. V. Rao, V. R. Pai Verneker, Propellant and Explosives, 3, 83 (1978)
- 5) Y. Miron, J. Hazardous Materials, 3, 301 (1980)
- 原泰敏,中村英国,鳥飼隆頌,長田英世,工業火 薬,43,9 (1982)
- 7) S. Gabriel, Ber., 21, 2668 (1888)
- 8) T. L. Cottrell, J. E. Gill, J. Chem. Soc., 1951, 1798
- 9) H. E. Kissinger, Anal. Chem., 29, 1702 (1957)
- 10) 吉田忠雄、総合安全工学研究所編,"火災・爆発 危険性の測定法",日刊工業新聞社 (1977) p15
- 11) 原泰馥, 龟井貞男, 長田英世, 工業火薬, 34, 253 (1973)
- 12) 日本化学会関東支部編,"公害分析指針1,大気編 1b",共立出版(1972) p7
- 13) 武内次夫,日本化学会編,"実験化学線座統 9 ガス クロマトグラフィー"、丸善 (1965) p7
- 14) 原泰毅, 松原宏之, 長田英世, 工業火薬, 38, 341 (1977)
- 15) 小沢文夫、日本化学会編、"新実験化学講座基礎技術 1 熱・圧力", 丸善(1977) p90
- 16) 例えば J. Thermal Analysis, 5, No 2 (1973) に 特集
- 17) 鍵谷勤, "化学反応の速度論的研究法(上)", 化学同人(1970) p408
- M. N. Jones, J. J. Jackson, Explosivstoffe, 7, 177 (1959)
- 19) W. R. Hess, R. C. King, Nature, 189, 288 (1961)

20) 原泰敏, 龟井貞男, 長田英世, 工業火薬, 34, 147 (1973) 菜, 32, 132 (1971)

22) 広崎袋一、九州工業大学昭和55年度修士論文

21) 原泰毅、藤沢俊彦、大竹克美、長田英世、工業火

## Thermal Decomposition of Ethanolamine Nitrate

by Yasutake HARA\*, Hidetsugu NAKAMURA\*, Yoshikazu HIROSAKI\*\* and Hidevo OSADA

The thermal decomposition of ethanolamine nitrate (EAMN) which is sensitizer of slurry explosives was studied by thermal analyses, kinetic parameters and gas analysis.

EAMN decomposes with violence at a little higher temperatupe than the decomposition temperature of monomethylammonium nitrate which is used as same purpose as EAMN. The decomposition of EAMN proceeds autocatalytically at a constant temperature, and the rate equation is  $x^{0.9} = kt$  (x; fractional decomposition, t; time, k; rate constant). The memory effect is observed with this compound, so the decomposition is accelerated by preheating.

(\*Department of Environmental Science, Kyushu Institute of Technology Sensui-machi, Tobata-ku, Kitakyushu-shi, Japan \*\*Nippon Oil & Fats Co., Ltd. Taketoyo Plant, Nishimon 82, Taketoyo, Chita-gun, Aichi-ken, Japan)